

Starkniederschlagshöhen und -spenden gemäß KOSTRA-DWD-2020

Rasterfeld 159148

(Zeile 159, Spalte 148)

Regenspende und Bemessungsniederschlagswerte in Abhängigkeit von Wiederkehrzeit T und Dauerstufe D

| Dauerstufe D | | Wiederkehrzeit T | | | | | | | | | | | | | | | | | |
|--------------|-----|------------------|------------|------|------------|------|------------|------|------------|------|------------|-------|------------|-------|------------|-------|------------|-------|------------|
| | | 1 a | | 2 a | | 3 a | | 5 a | | 10 a | | 20 a | | 30 a | | 50 a | | 100 a | |
| min | Std | mm | l / (s ha) | mm | l / (s ha) | mm | l / (s ha) | mm | l / (s ha) | mm | l / (s ha) | mm | l / (s ha) | mm | l / (s ha) | mm | l / (s ha) | mm | l / (s ha) |
| 5 | | 7,1 | 236,7 | 8,9 | 296,7 | 9,9 | 330,0 | 11,4 | 380,0 | 13,4 | 446,7 | 15,5 | 516,7 | 16,8 | 560,0 | 18,6 | 620,0 | 21,2 | 706,7 |
| 10 | | 9,1 | 151,7 | 11,4 | 190,0 | 12,7 | 211,7 | 14,5 | 241,7 | 17,1 | 285,0 | 19,8 | 330,0 | 21,6 | 360,0 | 23,9 | 398,3 | 27,2 | 453,3 |
| 15 | | 10,4 | 115,6 | 12,9 | 143,3 | 14,4 | 160,0 | 16,5 | 183,3 | 19,4 | 215,6 | 22,5 | 250,0 | 24,4 | 271,1 | 27,0 | 300,0 | 30,8 | 342,2 |
| 20 | | 11,3 | 94,2 | 14,0 | 116,7 | 15,7 | 130,8 | 17,9 | 149,2 | 21,1 | 175,8 | 24,4 | 203,3 | 26,5 | 220,8 | 29,4 | 245,0 | 33,4 | 278,3 |
| 30 | | 12,6 | 70,0 | 15,6 | 86,7 | 17,5 | 97,2 | 20,0 | 111,1 | 23,5 | 130,6 | 27,2 | 151,1 | 29,6 | 164,4 | 32,8 | 182,2 | 37,3 | 207,2 |
| 45 | | 14,0 | 51,9 | 17,3 | 64,1 | 19,4 | 71,9 | 22,2 | 82,2 | 26,1 | 96,7 | 30,2 | 111,9 | 32,9 | 121,9 | 36,4 | 134,8 | 41,4 | 153,3 |
| 60 | 1 | 15,0 | 41,7 | 18,6 | 51,7 | 20,9 | 58,1 | 23,8 | 66,1 | 28,1 | 78,1 | 32,5 | 90,3 | 35,3 | 98,1 | 39,1 | 108,6 | 44,5 | 123,6 |
| 90 | 1,5 | 16,5 | 30,6 | 20,6 | 38,1 | 23,0 | 42,6 | 26,3 | 48,7 | 31,0 | 57,4 | 35,8 | 66,3 | 39,0 | 72,2 | 43,2 | 80,0 | 49,1 | 90,9 |
| 120 | 2 | 17,7 | 24,6 | 22,0 | 30,6 | 24,7 | 34,3 | 28,2 | 39,2 | 33,2 | 46,1 | 38,4 | 53,3 | 41,8 | 58,1 | 46,3 | 64,3 | 52,6 | 73,1 |
| 180 | 3 | 19,5 | 18,1 | 24,2 | 22,4 | 27,2 | 25,2 | 31,0 | 28,7 | 36,6 | 33,9 | 42,3 | 39,2 | 46,0 | 42,6 | 50,9 | 47,1 | 58,0 | 53,7 |
| 240 | 4 | 20,9 | 14,5 | 25,9 | 18,0 | 29,1 | 20,2 | 33,2 | 23,1 | 39,1 | 27,2 | 45,2 | 31,4 | 49,2 | 34,2 | 54,5 | 37,8 | 62,0 | 43,1 |
| 360 | 6 | 23,0 | 10,6 | 28,5 | 13,2 | 32,0 | 14,8 | 36,5 | 16,9 | 43,0 | 19,9 | 49,7 | 23,0 | 54,1 | 25,0 | 59,9 | 27,7 | 68,2 | 31,6 |
| 540 | 9 | 25,2 | 7,8 | 31,3 | 9,7 | 35,1 | 10,8 | 40,1 | 12,4 | 47,2 | 14,6 | 54,6 | 16,9 | 59,5 | 18,4 | 65,8 | 20,3 | 74,9 | 23,1 |
| 720 | 12 | 27,0 | 6,3 | 33,5 | 7,8 | 37,5 | 8,7 | 42,8 | 9,9 | 50,5 | 11,7 | 58,4 | 13,5 | 63,6 | 14,7 | 70,3 | 16,3 | 80,0 | 18,5 |
| 1080 | 18 | 29,6 | 4,6 | 36,8 | 5,7 | 41,2 | 6,4 | 47,0 | 7,3 | 55,5 | 8,6 | 64,1 | 9,9 | 69,8 | 10,8 | 77,2 | 11,9 | 87,9 | 13,6 |
| 1440 | 24 | 31,6 | 3,7 | 39,3 | 4,5 | 44,0 | 5,1 | 50,3 | 5,8 | 59,3 | 6,9 | 68,5 | 7,9 | 74,6 | 8,6 | 82,5 | 9,5 | 93,9 | 10,9 |
| 2880 | 48 | 37,1 | 2,1 | 46,1 | 2,7 | 51,7 | 3,0 | 59,0 | 3,4 | 69,5 | 4,0 | 80,4 | 4,7 | 87,5 | 5,1 | 96,8 | 5,6 | 110,2 | 6,4 |
| 4320 | 72 | 40,7 | 1,6 | 50,6 | 2,0 | 56,7 | 2,2 | 64,7 | 2,5 | 76,3 | 2,9 | 88,2 | 3,4 | 96,0 | 3,7 | 106,3 | 4,1 | 120,9 | 4,7 |
| 5760 | 96 | 43,5 | 1,3 | 54,1 | 1,6 | 60,6 | 1,8 | 69,2 | 2,0 | 81,5 | 2,4 | 94,3 | 2,7 | 102,6 | 3,0 | 113,5 | 3,3 | 129,2 | 3,7 |
| 7200 | 120 | 45,8 | 1,1 | 56,9 | 1,3 | 63,8 | 1,5 | 72,8 | 1,7 | 85,8 | 2,0 | 99,2 | 2,3 | 108,0 | 2,5 | 119,5 | 2,8 | 136,0 | 3,1 |
| 8640 | 144 | 47,8 | 0,9 | 59,3 | 1,1 | 66,5 | 1,3 | 75,9 | 1,5 | 89,5 | 1,7 | 103,5 | 2,0 | 112,6 | 2,2 | 124,6 | 2,4 | 141,8 | 2,7 |
| 10080 | 168 | 49,5 | 0,8 | 61,5 | 1,0 | 68,9 | 1,1 | 78,7 | 1,3 | 92,7 | 1,5 | 107,2 | 1,8 | 116,7 | 1,9 | 129,1 | 2,1 | 146,9 | 2,4 |

Starkniederschlagshöhen und -spenden gemäß KOSTRA-DWD-2020

Rasterfeld 159148

(Zeile 159, Spalte 148)

Örtliche Unsicherheiten in Abhängigkeit von Wiederkehrzeit T und Dauerstufe D

| Dauerstufe D | | Wiederkehrzeit T | | | | | | | | |
|--------------|-----|------------------|-----|-----|-----|------|------|------|------|-------|
| | | 1 a | 2 a | 3 a | 5 a | 10 a | 20 a | 30 a | 50 a | 100 a |
| min | Std | ± % | ± % | ± % | ± % | ± % | ± % | ± % | ± % | ± % |
| 5 | | 11 | 12 | 12 | 13 | 13 | 14 | 14 | 15 | 15 |
| 10 | | 13 | 15 | 16 | 17 | 18 | 19 | 19 | 20 | 20 |
| 15 | | 15 | 17 | 18 | 19 | 20 | 21 | 22 | 22 | 23 |
| 20 | | 16 | 18 | 19 | 20 | 22 | 23 | 23 | 24 | 24 |
| 30 | | 18 | 20 | 21 | 22 | 23 | 24 | 24 | 25 | 26 |
| 45 | | 18 | 20 | 21 | 22 | 24 | 24 | 25 | 26 | 26 |
| 60 | 1 | 18 | 20 | 21 | 22 | 24 | 24 | 25 | 26 | 26 |
| 90 | 1,5 | 18 | 20 | 21 | 22 | 23 | 24 | 25 | 25 | 26 |
| 120 | 2 | 17 | 19 | 20 | 21 | 23 | 24 | 24 | 25 | 25 |
| 180 | 3 | 16 | 18 | 19 | 21 | 22 | 23 | 23 | 24 | 24 |
| 240 | 4 | 15 | 18 | 19 | 20 | 21 | 22 | 22 | 23 | 24 |
| 360 | 6 | 15 | 17 | 18 | 19 | 20 | 21 | 21 | 22 | 22 |
| 540 | 9 | 14 | 16 | 16 | 18 | 19 | 20 | 20 | 21 | 21 |
| 720 | 12 | 13 | 15 | 16 | 17 | 18 | 19 | 19 | 20 | 20 |
| 1080 | 18 | 13 | 14 | 15 | 16 | 17 | 18 | 18 | 19 | 19 |
| 1440 | 24 | 12 | 14 | 14 | 15 | 16 | 17 | 18 | 18 | 19 |
| 2880 | 48 | 12 | 13 | 14 | 14 | 15 | 16 | 16 | 17 | 17 |
| 4320 | 72 | 12 | 13 | 13 | 14 | 15 | 15 | 16 | 16 | 17 |
| 5760 | 96 | 13 | 13 | 14 | 14 | 15 | 15 | 16 | 16 | 16 |
| 7200 | 120 | 13 | 13 | 14 | 14 | 15 | 15 | 16 | 16 | 16 |
| 8640 | 144 | 14 | 14 | 14 | 14 | 15 | 15 | 15 | 16 | 16 |
| 10080 | 168 | 14 | 14 | 14 | 14 | 15 | 15 | 15 | 16 | 16 |

Parameter für abweichende T und D

Lokationsparameter ξ (Xi)

15,26627333

Skalenparameter α (Alpha)

5,1409819

Formparameter κ (Kappa)

-0,1

1. Koutsoyiannis-Parameter θ (Theta)

0,023056

2. Koutsoyiannis-Parameter η (Eta)

0,77032059

Parameter für dauerstufenübergreifende Extremwertschätzung nach KOUTSOYIANNIS et al. 1998.

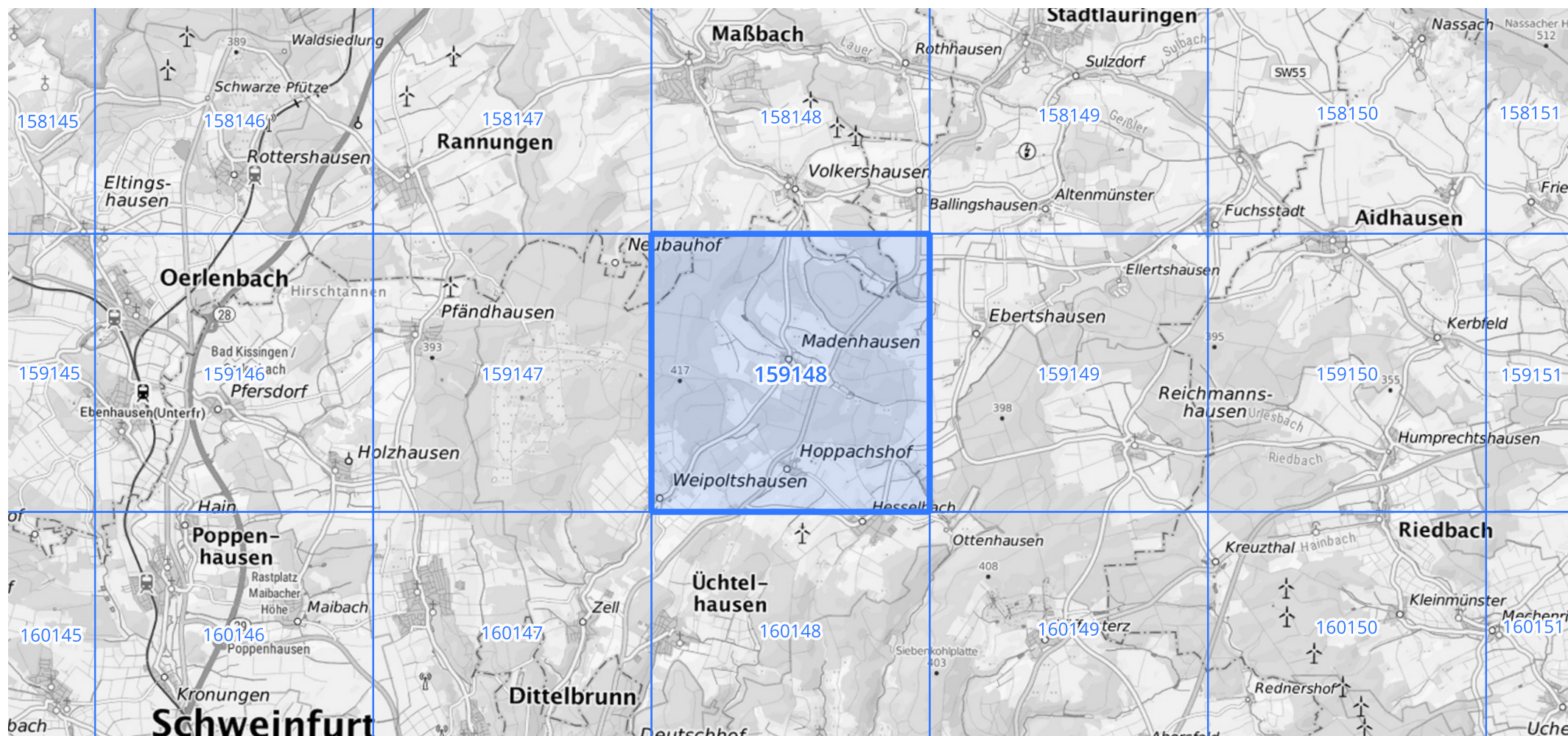
Siehe auch Anwendungshilfe zu KOSTRA-DWD-2020 des Deutschen Wetterdienstes.

Starkniederschlagshöhen und -spenden gemäß KOSTRA-DWD-2020

Rasterfeld 159148

(Zeile 159, Spalte 148)

Übersichtskarte des Rasterfeldes 159148, M 1 : 100 000



Quelle Rasterdaten: KOSTRA-DWD-2020 des Deutschen Wetterdienstes, Stand 12/2022.

Seite 3 von 3

Kartendarstellung: © Bundesamt für Kartographie und Geodäsie (2023), Datenquellen: https://sgx.geodatenzentrum.de/web_public/gdz/datenquellen/Datenquellen_TopPlusOpen.html

Für die Richtigkeit und Aktualität der Angaben wird keine Gewähr übernommen. Erstellt 01/2023.